

IZOTOPICKÁ SPEKTRÁLNA ANALÝZA

OLOVA

A. N. ZAJDEL, A. G. ŽIGLIŃSKI, J. ČAJKO,¹⁾ Leningrad

ČASŤ I

Opisuje sa aparátura, ktorá bola vyvinutá pre analýzu izotopickejho zloženia olova, separovaného z geologických vzoriek. Svetelným zdrojom bola výbojová trubica s dutou katódou chladenou vodou alebo kvapalným vzduchom. Ako prístroj vysokej rozlišovacej schopnosti sa používal Fabry-Perotov etalon s mnohovrstvovými dielektrickými zrkadlami. Etalon bol umiestnený v tlačovej komore a postupný výber zložiek hyperjemnej štruktúry spektrálnej čiary olova PbI 4057,8 Å sa uskutočňoval pomocou zmeny tlaku medzi platinovou a selenitovou membránou. Hyperjemná štruktúra analytickej čiary sa registrovala fotomasobičom chladeným kvapalným vzduchom. Skutočná rozlišovacia schopnosť aparátury bola asi 1 000 000. Na opísanej aparátúre sa skúmala možnosť izotopickej spektrálnej analýzy olova bez použitia štandardov, pri ktorej sa zároveň sledovali všetky poruchy intenzít zložiek izotopickej štruktúry, spôsobené svetelným zdrojom a regiszračným zariadením. Podobne bola preskúmaná možnosť analýzy s použitím štandardov.

I. Úvod

Metódy izotopickej analýzy môžeme rozdeliť na dve skupiny: 1. priame metódy a 2. nepriame metódy. Do prvej skupiny zaradujeme metódy založené na meraní špecifických vlastností (atómová hmota, frekvencia využávaného svetla, charakteristické jadrové reakcie) rôznych izotopov jedného a toho istého prvku. Sem patrí hmotová spektrometria, izotopická spektrálna analýza, založená na výskume atómových a molekulových spektier a aktivačná analýza. Pri nepriamych metódoch izotopickej analýzy sa neberú do úvahy špecifické vlastnosti daného izotopu. Analýza sa robí pomocou indikácie zmien celkových vlastností izotopickej zmesi v závislosti od jej izotopického zloženia.

¹⁾ Terajšie pracoviško — Ústav jadrovej fyziky ČSAV v Prahe.

Napr. sa skúma zmena hustoty (denzitometrická metóda), zmena indexu lomu (refraktometrická metóda) alebo zmena tepelnej vodivosti zmesi.

Nepriame metódy v porovnaní s priamymi výkazujú dva nedostatky: 1. nedovolujú určovať izotopické zloženie zmesi, ktorá sa skladá z viac ako dvoch izotopov, 2. vlastnosti, na základe ktorých sa robí analýza, nezávisia len od relatívneho obsahu izotopov, ale aj od prítomnosti cudzích prísad.

Kladom väčšiny nepriamych metód je ich pomeraná jednoduchosť. Najrozšírenejšou metódou určovania izotopického zloženia prvkov ostáva dodnes metódou hmotovej spektrometrie, ktorá je obyčajne dosťatočne presná, o rozvoj iných metod, pretože hmotová spektrometria vyzaduje pomerne drahe a malo dostupné zariadenia. Okrem toho samotná analýza a príprava vzorky vyzadujú často neúnosne veľký čas.

Vzhľadom na tieto faktky sa v poslednom čase venuje veľká pozornosť roz- z posuvov spektrálnych čiar, vznikajúcich v atomových a molekulových spektrách.

Podarilo sa vypracovať spektrálne metódy izotopického zloženia vodíka [1–4], litia [5–7], uránu [8–10] a niektorých iných prvkov. Podrobny súpis prác, vykonaných v tejto oblasti do r. 1955, je obsiahnutý v prehľade [11]. Izotopickej spektrálnej analýze olova je doposiaľ venované niekoľko prac. My sa vracieame znova k tejto problematike, pretože staršie prace [12–14] majú len historickú cenu a posledná práca J. K. Brodho a F. J. Tomkina [10], ktorá bola uverejnená po odoslani základných výsledkov nášho výskumu [15–17] do tlače, nie je zbavená určitých nedostatkov. Túto prácu prediskutujeme v II. časti.

Úloha vypracovať metodiku izotopickej spektrálnej analýzy olova, vznikla pre nevyhnutnosť podrobni analyzovať veľké množstvá vzoriek, analýza ktorých metodou hmotovej spektrografie by si vyzerala, velmi mnoho času. Okrem toho bolo ziaduce vypracovať takú metódu analýzy, ktorá by umožňovala určovať izotopické zloženie olova na základe iných vlastností než tých, ktoré ležia v základe hmotovej spektrometrie. Taká metóda by bola nezávislá vzhľadom na hmotovú spektrometriu a v sporných prípadoch by mohla slúžiť ako kontrolná metóda.

Spektrálna izotopická analýza sa zakladá na meraní relatívnych intenzít jednotlivých zložiek izotopickej štruktúry spektrálnej čiary. Vo všeobecnom prípade sa pomer koncentrácie izotopov vo vzorek nemusí rovnati pomeru intenzít odpovedajúcich zložiek hyperjemnej štruktúry (h. j. š.). Okolnosti, ktoré zapričinujú túto odchytku, môžeme rozdeliť na dve skupiny: 1. príčiny spojené so svetelným zdrojom, 2. príčiny spojené so zvoleným spôsobom merania intenzít.

V našom prípade sa k prvej skupine vzťahujú hlavne poruchy intenzít

spôsobené reabsorpciou v zdroji spektra a superpozíciou obrysov jednotlivých zložiek h. j. š. Ďalšia komplikácia, spojená s dodatočnou superpozíciou obryssov, je spôsobená elektromagnetickou hyperjemnou štruktúrou nepárnego izotopu Pb^{207} , ktorá má šírku rádove takú veľkú ako izotopická štruktúra.

K druhej skupine patrí skreslenia, ktoré závisia od konečnej šírky aparátu, túnemu obrysu čiary, od rozptyľeného svetla v aparátu, od zotrvačnosti registrujúcej schémy a pod. K tomu sa ešte pripočítavajú chyby zavinené časovou nestabilitou celeho zariadenia, pretože sme si zvolili najodhadučší jednoduchový schému registrácie, v ktorej sa jednotlivé zložky h. j. š. registrujú v rôznych okamžikoch výboja v svetelnom zdroji.

Všetky tieto okolnosti musíme brať do úvahy pri prechode od nameraných hodnôt intenzít ku koncentráciám izotopov. Toto sa môže uskutočniť niekolikými spôsobmi:

1. Najprirodzenejšia cesta spočíva v kontrole a odstránení všetkých skreslujúcich faktorov. Ale takáto kontrola nebyva vždy jednoduchá a obyčajne zaťažuje meranie celým radom dodatočných náhodných a systematických chyb. Toto sa predovšetkým vzťahuje na kontrolu reabsorpcie, aparátu, systematického obrysu čiary, spojitého spektra svetelného zdroja a na superpoziciu obrysov.

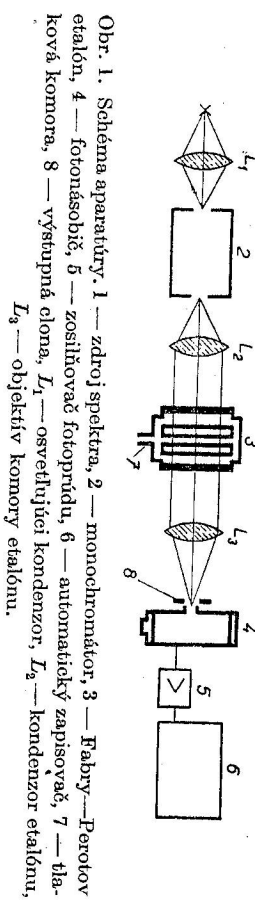
2. Pri druhom spôsobe sa zostavia kalibráčne grafy na základe štandardov so známym izotopickým zložením, podobne ako v obyčajnej spektrálnej analýze. Po zastavení grafu, na jednu os ktorého namišame hodnoty maximálnych zložiek h. j. š. a na druhú koncentráciu izotopu, a pri podmienke, že pracujeme za tých istých experimentálnych režimov, nemusíme sa starat o skreslenie, ktoré daný režim vnaša do vztahov medzi maximami. Pre mnohozlozkovú sústavu, akou je napríklad olovo, tento spôsob však nie je najvhodnejší, pretože kvôli kontrole „tretích zložiek“ by bol potrebné zostaviť celý súbor kalibráčnych grafov.

3. Nakoniec je možná tretia cesta: treba nájsť také podmienky pre experiment, pri ktorých skreslenie intenzít zložiek h. j. š. bude nepatrné. Vtedy skreslenie možno alebo zanedbať, alebo sa možno obmedziť na vnesenie malých značnými chybami. Tento spôsob bol s úspechom využitý pri rozpracovaní metódy izotopickej spektrálnej analýzy vodíka [4].

V prvom a v poslednom prípade hovoríme o metódach analýzy bez použitia štandardov a v druhom prípade o štandardnej metóde. Výhody metód bez štandardov sa určujú tym, že odpadá nutnosť mať spoločné štandardy, ktoré v uvedenom prípade nie je vždy jednoduché získať. Na druhej strane metódy s použitím štandardov zabezpečujú obyčajne väčšiu presnosť analýzy. V našej práci sa skúmala možnosť robiť izotopickú analýzu olova všetkými spomeňutými metodami.

II. Aparatúra

Pri výskume hyperjemnej štruktúry spektrálnych čiar rozhodnú úlohu hraťa svetelného zdroja a spektrálneho prístroja. Svetelné zdroje (oblikový a iskový výboj a planeč), ktoré sa používajú v obyčajnej spektrálnej analýze, spravidla sa pre tento účel nehodia, pretože vyžierajú spektrálne čiary rozšrené a ľahko náčyne k vlastnej inverzii. Tieto zjavy spôsobujú skreslenie hyperjemnej štruktúry. Pri výskume h. j. š. treba vzbudzovať spektrum v zdroji, ktorý dáva úzke, ale dosťatočne intenzívne spektrálne čiary. V sú-



Obr. 1. Schéma aparátury. 1 — zdroj spektra, 2 — monochromátor, 3 — Fabry—Perofová komora, 4 — fotomultiplič, 5 — zosilňovač fotopruďu, 6 — automatický zapísavací, 7 — tlaková clona, L_1 — osvetľujúci kondenzor, L_2 — kondenzor etalónu, L_3 — objektív komory etalónu.

časnej dobe najrozšírenejším zdrojom, využívajúcim týmto podmienkam a používajúcim sa v cieloch spektroskopie vysokého rozlíšenia, je výbojová trubica etaloná.

Výskum h. j. š. si vyžaduje použitie prístroja vysokej rozlíšovacej schopnosti. My sme použili najbežnejšiu a najosvedčenejšiu typ takéhoto prístroja: Fabry—Perotov interferometer.

Popri vhodnom svetelnom zdroji a spektrálnom prístroji vysokej rozlíšovacej sily je nevyhnutné pracovať s citlivým prijímačom, ktorý by bol schopný zaregistrovať všetky zložky h. j. š. pomocou fotomultipliča, s postupným zo- silnením fotopruďu a s automatickým zápisom spektra.

Schéma našej aparátury, jednotlivé časti ktorej rozpracovali predtým N. I. Kalitejevskij, M. P. Čajka [16], A. G. Žiglinskij a A. L. Ošerovič [15], je zobrazená na obr. 1.

1. Zdroj svetla

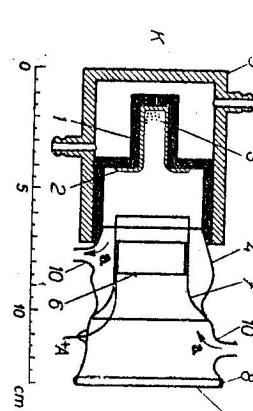
Konštrukcie výbojových trubiek s dutou katódou, ktoré sme používali, znázornuje obr. 2 a 3. Základná časť trubice (obr. 2) je zelená dutá katoda,

v dutine ktorej sa umiestňuje železná čiaška so skumanou vzorkou. Dutá katoda s chladidlom je spojená zábrusom so sklenenou trubicou. Niklová anóda trubice v tvare je vložená do kremennej trubice, ktorá je stimelená so skle-

nenou trubicou. Na obr. 3 je schéma výbojovej trubice chladenej kvapalným vzduchom.

Využitie železnej čiašky umožnilo skrátiť dobu potrebnú na výmenu analyzované vzorky na päť minút. Výmena vzorky spočívala len v zámene predbežne pripravenej čiašky so vzorkou, čím sme sa vylí ďisteniu celej trubice od zvyškov predošej vzorky.

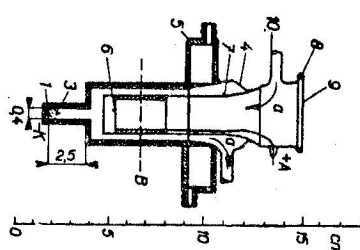
Výbojová trubica bola spojená s cirkulačnou vákuovou sústavou, ktorá sa skladala z olejovej rotácej vývevy a ortuťovej difúznej vývevy. Cirkulácia argónu, ktorým bola naplnená výbojová trubica, uskutočňovala sa pomocou paroprúdovej ortuťovej vývevy. V procese cir-



Obr. 2. Výbojová trubica s dutou katódou chladenou vodou. 1 — železná dutá katoda, 2 — železná čiaška, 3 — analyzovaná ľatka, 4 — sklenená trubica, 5 — duralový chladidiel, 6 — niklová anóda, 7 — kremenná trubica, 8 — piecie, 9 — okienko pre pozorovanie, 10 — výbežky trubice pre napojenie k cirkulačnej sústave,

a — smer cirkulácie plynu.

Obr. 3. Výbojová trubica s dutou katódou chladenou kvapalným vzduchom. B — tvorená, do ktorej sa trubica pri práci ponorovala do tekutého vzduchu. Ostatné označenie je to isté ako na obr. 2.

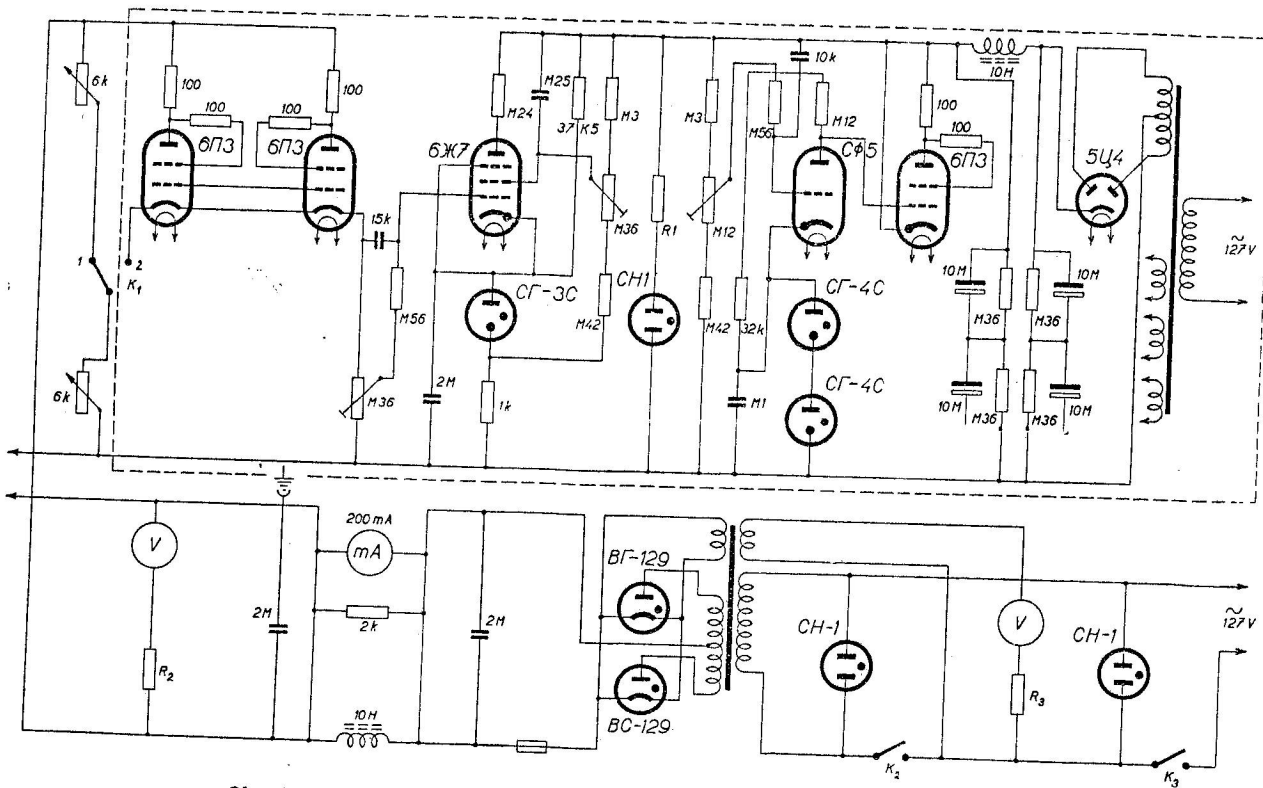


Obr. 3. Výbojová trubica s dutou katódou chladenou kvapalným vzduchom. B — tvorená, do ktorej sa trubica pri práci ponorovala do tekutého vzduchu. Ostatné označenie je to isté ako na obr. 2.

kulácie argón prechádzal cez vymrazovačky s kvapalným vzduchom kvôli odstieniu od ortuťových pár a cez draslikový zberač, v ktorom sa odstraňovali prímesi molekulárnych plynov. Tlak argónu v cirkulačnej sústave sa meral olejovým manometrom. Pri niektorých pokusoch sme popri argóne používali aj hélium alebo zmes týchto plynov. Hélium sa čistilo pomocou aktivovaného uhlíka, chladeného kvapalným vzduchom.

Pri zámine vzorky sa vákuum narúšovalo len vo výbojovej trubici, ktorá sa odpojovala od ostatnej vákuovej sústavy pomocou dvoch kohútov. Táto úprava značne znížila dobu odčerpávania sústavy po každej vymene vzorky.

Napájacím zdrojom výbojovej trubice s dutou katódou slúžil vysokonapäťový usmerňovač, zostrojený na gazotrónoch VG-129. Výbojový prúd sa



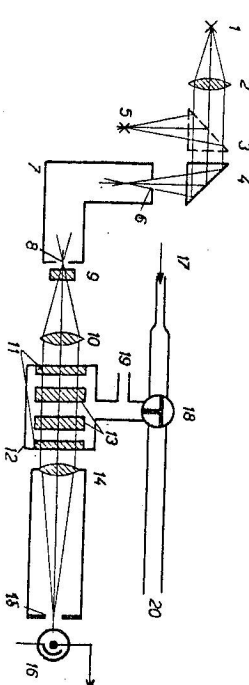
Obr. 4. Schéma napájacieho zdroja výbojovej trubice s dutou katódou. Polohy prepínača K_1 : 1 — usmerňovač, 2 — stabilizátor prúdu.

stabilizoval stabilizátorom prúdu, ktorý mal koeficient stabilizácie vzhľadom na zatažujúci odpor rovný 150. Pri použití stabilizátora fluktuácie výbojového prúdu boli menšie ako 0,1 mA. Rozsah stabilizovaných prúdov: 50—100 mA. Schematica napájaceho zdroja je zobrazená na obr. 4 (schematica stabilizátora je čiarkované orámovaná).

3. Optická časť aparátu

Pre predbežný rozklad spektra sa používal jednohranolový sklenený monochromátor s Broca-Pellinovým hranolom. Monochromátor mal v oblasti spektra $\lambda = 4000 \text{ \AA}$ ľneamu disperziu 15 \AA/mm .

Parametre všetkých prvkov optickej sústavy (obr. 5) sme volili tak, aby bol úplne využitý svetelný potok, vychádzajúci z monochromátora.



Obr. 5. Schéma optickej časti aparátu. 1 — svetelný zdroj, 2 — osvetlujúci kondenzor, 3 — odražajúci hranol, 4 — hranol totálneho vnútorného odrazu, 5 — ortofotonová výbojka, 6 — vstupná štabika monochromátora, 7 — monochromátor, 8 — výstupná štrbina monochromátora, 9 — šošovka, 10 — kondenzor etalónu, 11 — sklenené okná tlakové komory, 12 — tlaková komora, 13 — Fabry-Perotov etalón, 14 — objektív komory etalónu, 15 — výstupná clona aparátu, 16 — fotomásobíč, 17 — ihlový ventil, 18 — trojcesný kobut, 19 — k tlakovému číulu, 20 — k rotáčnej výveve.

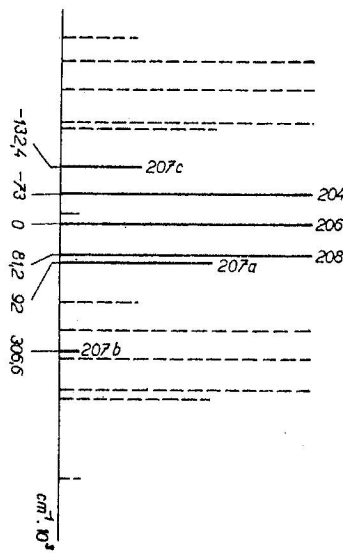
Ohnisková vzdialenosť šošovky 14 sa rovnila 1300 mm. Táto vzdialenosť určovala lineárne rozmeru clony 15, ktorá vydelená z centrálnego kruhu interferenčného obrazu, poskytovaného etalónom, časť o spektrálnej šírke δ_λ , veľkosť ktorej závisela od rozlišovacej schopnosti aparátu. Zmenšeniu ohniskovej vzdialenosť šošovky 14 odpovedá zmenšenie priemeru clony 15, ktoré zatažuje jej adjustáciu. Zväčšenie ohniskovej vzdialosti povedie ku zväčšeniu rozmerov celej aparátu, až nakoniec priemer clony prevýši rozmer fotokatodov fotonásobiča.

Pri zvolenej ohniskovej vzdialosti priemer výstupnej clony bol asi 2 mm a clona sa mohla adjustovať s dosťatočnou presnosťou.

Fabry-Perotov etalón. Vzdialenosť medzi platiarmi etalónu sme volili podľa možnosti čo najväčšiu. Spektrálna oblasť etalónu bola pritom menšia

ako šírka hyperjemnej štruktúry analytickej čiary olova a susedné rády interferenčného obrazu sa často prekrývali. Pri vzdialosti 15 mm rozlišenie zložiek h. j. s. bolo plne využívajúce pre štúdium ich intenzít (obr. 6).

Etalón vzor IT-17 s invarovými separátorami mal mnohovrstvové dielektrické zrkadlá, ktoré mali v spektrálnej oblasti $\lambda = 4000 \text{ \AA}$ koeficient odrazu 89 % a koeficient absorpcie 6 %. Zväčšenie koeficientu odrazu nad túto hodnotu nemalo význam, lebo by sa pre nedokonalosť povrchu zrkadiel pri tom zmenší svetelný potok, ktorý etalón prepúšťa, a reálna rozlišovacia schopnosť by sa nezväčšila. Reálna rozlišovacia sila, ktorá sa približne rovnala 1 000 000, bola určená pomocou zmerania obrysu čiary Pb²⁰⁶I 4058 Å.



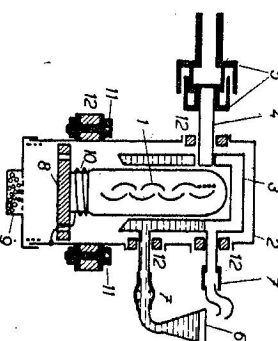
Obr. 6. Obraz hyperjemnej štruktúry čiary PbI 4058 Å, ziskaný pomocou etalónu o hrúbke 15 mm.

Kraje zrkadiel etalónu sa clonili tak, že z celkovej plochy zrkadiel o priemere 50 mm sa využívala len centrálna časť o priemere 30 mm. Etalón bol uzavretý v tlakovej komore, v ktorej sa menil tlak v medziach 1 atmosféru. Tejto zmene tlaku odpovedala zmena optickej hrúbky etalónu o 17 rádov. Postupné zaostrovanie jednotlivých zložiek h. j. s. na výstupnú clonu aparátu sa uskutočňovalo pomocou vŕtania vzduchu cez kapiáru do tlakovej komory, ktorá sa predbežne odčerpávala olejovou rotáčou výverou. Rýchlosť natekania vzduchu sa regulovala ihlovým ventilom podľa časovej konštanty registračnej schémy.

Pri takomto usporiadani tlak v tlakovej komore je exponenciálnou funkciou času. Táto okolnosť všeobecne spôsobuje skreslenie obrazu h. j. s. Pre kontrolu skresenia aparátu bola opatrená dotykovým manometrom, ktorý zaznamenával zmenu tlaku v tlakovej komore na páske automatického zapisovača súčasne s registráciou h. j. s. Výskum však ukázal, že prvých 5–6 rádov interferenčného obrazu je skreslených veľmi nepatrne, a preto v prípade, ak sa ohrianičíme zápisom týchto prvých rádov, súčasná kontrola tlaku pri re-

4. Registráčne zariadenie

Fotoelektrická registrácia hyperjemnej štruktúry spektrálnych čiar, ktorú prvýkrát použil Ch. Dufour a P. Jacquinet [18] vo Francii a S. F. Roldonov a A. L. Ošerovič [19] v SSSR, bola v poslednom čase s úspechom využitá v izotopickej spektrálnej analýze [1–8, 10, 17, 20].



Obr. 7. Konštrukcia zariadenia pre chladenie fotonásobiča kvapalným vzduchom.
1 — fotonásobič, 2 — hermetický plášť, 3 — bronzový chladidlo, 4 — svetlovod, 5 — dvojitý tierniaci valce, 6 — lievik pre napäjanie chladidla kvapalným vzduchom, 7 — spojovacia gumová trubica, 8 — pátrica fotonásobiča, 9 — silikagel pre vysušenie vzduchu vnútri plášta, 10 — kovový uzemnený kružok, 11 — závitové spoje vrchnej a spodnej časti plášta, 12 — tesniace gumové krúžky.

Náš fotoelektrické zariadenie bolo podobné aparátu, opísanej v [15]. Používali sme fotonásobič FEU-17 s antimonočiovou fotokatódou, ktorý mal tieto parametre: citlivosť $\gamma = 42 \text{ A/lumen}$ pri napätí $U_{j,u} = 800 \text{ V}$, prípadne $I_{tm} = 3 \cdot 10^{-10} \text{ A}$ pri napätí $U_{j,u} = 800 \text{ V}$, odpovedajúcim citlivosťi 1 A/lumen .

Hodnota šumov fotonásobiča, a teda aj pomer signál/šum sa určuje velkosťou fluktuácií prúdu za tmy. Kvôli zníženiu týchto fluktuácií sme ochladzovali fotonásobič kvapalným vzduchom. Schéma chladenia fotonásobiča je ukázaná na obr. 7.

Svetlo z výstupnej komory etalónu sa privádzalo na fotokatodu prostredníctvom svetlovodu z organického skla. Svetlovod má formu valca s dôkladne vyhladeným obalom. S výstupnou clonou sa spája pomocou dvojitého clo-niacich trubíc. Premeranie koeficientu preprúšania svetlovodu ukázalo, že svetelný potok, vychádzajúci z výstupnej clony, oslabuje sa v ľom o 1,5 ráz. Toto oslabenie bolo nepodstatné, lebo v dôsledku ochladenia fotonásobiča pomer signál/šum vzrástol 12 ráz.

Fotoprid sa zosilňoval zosilňovačom stejnosmerného prúdu, ktorý bol

gistrováciu je nepotrebná, pretože vtedy nelineárna zmena tlaku v tlakovej komore prakticky nevplýva na tvar obrysu čiary a nevŕňa chyby do analýzy.

skonštruovaný na lampe 6F5 podľa mostovej schémy [21]. Základné vlastnosti zosilňovača boli nasledovné: koeficient zosilnenia prúdu $K_p = 10^4$, posuv nuly $1 \mu\text{A}/\text{hod.}$, lineárnosť do $150 \mu\text{A}$, fluktuačie výstupného prúdu neprevyšovali $0,1 \mu\text{A}$, časová konštantá vstupu $0,5 - 1 \text{ sec}$. Zosilňovač sa napájal anódovými batériami a kyselinovým akumulátorom.

Fotoprúd sa registroval automatickým zapisovačom EPP-09. Vstup zapisovača bol zašuntovaný drôtikovým potenciometrom, na ktorom sa volil taký odpor, aby údaje zapisovača odpovedali údajom mikroampérmetra na zosilňovači. Zapisovač mal stupnicu na $100 \mu\text{A}$. Doba, za ktorú prešiel celou stupnicou jazdec s perom, rovna sa 1 sec.

III. Výber analytickej čiary

Spektrálna čiara, ktorá sa volí pre izotopickú analýzu, musí byť dostatočne intenzívna, musí mať podľahť reabsorpcii v svetelnom zdroji a musí mať dostatočne širokú izotopickú štruktúru. Okrem toho sa nesmie prekryvať s druhými čiarami a podľa možnosti sa má čím najdalej nachádzať od ostatných čiar, vyzárovaných zdrojom. My sme obmedzili svoj výskum viditeľnou oblasťou spektra a vybrali sme čiaru PbI 4057,8 Å, ktorá najviac využívala všetkým vytyčeným podmienkam.

Hyperjemná štruktúra tejto čiary sa v minulosti neraz skúmala [12, 22 – 27], ale výsledky rôznych autorov sa nezhodujú. Pri dešifrovaní registrrogramov sme používali údaje, ktoré uverejnili r. 1952 A. Steudel [27] a ktoré sa zdajú najviac spoloahlivé. Tieto údaje demonštruje obr. 6.

Obrys analytickej čiary. Aby sme mohli určiť intenzitu určitej zložky h. j. š., musíme presne vedieť, aké časti intenzity vnášajú do jej maxima susedné zložky h. j. š. Preto okrem vziahlenosti medzi jednotlivými zložkami h. j. š. musíme poznat aj obrys analytickej čiary.

Obrys analytickej čiary PbI 4058 Å sme skúmali pomocou čiary ArII 4053 Å. Vziahlenosť medzi platinami etalonu sa pritom volila tak, aby pomer dopplerovej šírky čiary ArII 4053 Å k spektrálnej oblasti etalonu bol rovný pomeru dopplerovej šírky čiary PbI 4058 Å k spektrálnej oblasti etalonu, ktorý má hrúbku 15 mm. Meraním sa potvrdilo, že pološírka čiary ArII 4053 Å, ktorá bola zaregistrovaná pri hrubke etalonu zvolenej podla stanovenej podmienky, rovnala sa polosírke čiary PbI 4053 Å, získanej s etalonom o hrúbke 15 mm.

Pri použíti výbojovej trubice s dutou katódou chladenou kvapalným vzduchom bezprostredne sme skúmali obrys čiary Pb²⁰⁸I 4058 Å.

Na základe výskumu obrysу analytickej čiary sme stanovili hodnoty vzájomnej superpozicie zložiek h. j. š. Tieto hodnoty sú dané v tab. 1.

Tabuľka 1

| Zložky hyperjemnej štruktúry | Superpozícia zložiek [%] |
|------------------------------|--------------------------|
| 206–208 | 4,4 |
| 208–207c | 3,1 |
| 206–207c | 2,6 |
| 206–207b | 32,6 |
| 208–207a | 81,1 |

IV. Výskum svetelného zdroja

Výskum rôznych režimov výboja v trubici s dutou katódou mal za cieľ určiť najvhodnejšie podmienky pre analýzu. Študovali sme: 1. vplyv rôznych parametrov výboja na intenzitu čiary PbI 4058 Å, 2. časové zmeny jasu výboja pri rôznych množstvach analyzovanéj látky a pri rôznych intenzitách výbojového prúdu, 3. stupeň reabsorpcie pri rôznych podmienkach.

Analyzovaná vzorka sa vkladala do dutej katódy bud ako kovové olovo, alebo ako jodid olovnatý. Pokusy ukázali, že analýzy rovnako dobre možno robiť v oboch prípadoch, avšak použitie PbJ₂ bolo výhodnejšie, lebo metódy analýzy sa rozpracovali za učelom určenia izotopického zloženia olova separovaného zo vzoriek hornín a regenerácia čistého olova by vyžadovala dodatočné chemické operácie. Preto sme väčšinu výskumu robili s jodidom olovnatým. Váha vzorky v dutej katóde sa menila od niekoľkých desiatok do niekolkých desaťsíc miligramov.

I. Jas výboja

Výskum zmien jasu v procese výboja v dutej katóde ukázal, že výboj je zo začiatku nestabilný a jeho jas značne kolís. Potom nastáva periód stabilného výboja, počas ktorej sa jas prakticky nemení. Táto doba je dostatočne veľká na výkonanie potrebného merania.

Doba potrebná na ustálenie výboja závisí od množstva vzorky. Pre množstvá PbJ₂ približne 1 mg je táto doba asi 5 – 7 minút a v prípade váhy 10 mg nestabilný výboj trvá asi polhodinu. Táto okolnosť zjednoduší analýzu pri použíti malých množstiev analyzovanej vzorky. Okrem toho doba nestabilného výboja závisí od rýchlosťi cirkulácie a kvality čistenia plynu a od spôsobu prípravy vzorky. (Znečistenie vzorky vodou a inými prchavými prímesami akisticie tiež zväčšuje dobu nestabilného výboja.) Pred analýzou je preto nevyhnutné určiť dobu vzorku v dutej katóde „kalif“. Táto doba sa určuje počasne. Pre našu aparáturu pri váhach vzorky niekoľko miligramov a pri výbojových prúdoch asi 50 mA doba „kalenia“ trvala 10 – 20 minút.

Po kalení sa jas výboja asi hodinu mení len veľmi nepatrné a pomaly.

Po tom jas klesá v dôsledku zmenenia množstva olova v dutej katóde.

Výskum závislosti intenzity čary PbI 4058 Å na tlaku argónu umožnil určiť optimálny tlak, rovný 0,3 mm Hg.

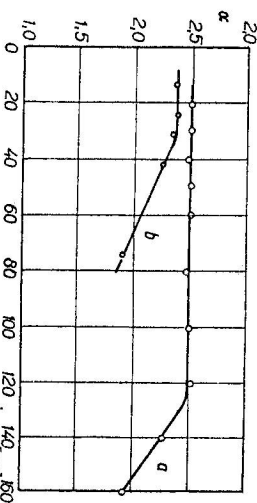
2. Reabsorpcia

Reabsorpcia je jedným z hlavných faktorov, ktoré narušujú správny pomer intenzít elektromagnetickej a izotopickej hyperjemnej štruktúry. Popri reabsorpčii, zda sa, existujú ešte druhé zjavy, ktoré vplývajú na rozdielenie intenzít v zložkach h. j. š. vo výboji v dutej katóde, ako to pozoroval v prípade tália J. I. Turkin [28].

Vplyv reabsorpcie sa vždy prejavuje vo zväčení relatívnej intenzity slabých zložiek, v dôsledku čoho v limite dochádza k vyrovnaniu intenzít slabých a silných zložiek h. j. š.

Pri metódach analýzy bez použitia štandardov kontrola reabsorpcie a zavedenie príslušných oprav sú ľahké a môžu spôsobiť v konečných výsledkoch značné chyby. Pri použíti štandardov hubovoľne veľká reabsorpcia vždy znížuje presnosť analýzy (pre zmenšenie sklonu kalibráčnych grafov) a v prípade olova zapŕtčinuje nevyhnutnosť použitia veľkej sady štandardov. Tieto okolnosti si vymenúju volbu takých podmienok pre analýzu, pri ktorých bude reabsorpcia zanedbatelné malá. Hodnota reabsorpcie vzrástá so vzrastom hustoty výbojového prúdu a hustoty absorpčných centier vo výboji. Súčasne však so vzrastom týchto veličín rastie aj intenzita zaujímajúcich nás čiar. Preto podmienky optimálne v zmysle reabsorpcie nebudú optimálne v zmysle jasu výboja a volba pracovných podmienok sa bude určovať konkurenciou týchto dvoch faktorov.

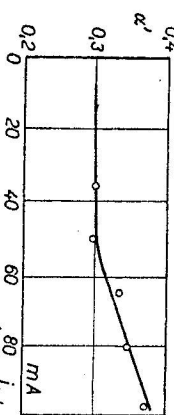
Zvlášt dôkladne bola reabsorpcia preskúmaná v dutej katóde pri izbovej teplote, ako aj v dutej katóde chladenej kvapalným vzduchom. V obroch prípadoch sa skúmala závislosť reabsorpcie od intenzity výbojového prúdu a od množstva vzorky, ako aj časové zmeny reabsorpcie počas doby výboja. Hodnota reabsorpcie sa môže charakterizovať pomocou pomera maximálnubových dvoch zložiek h. j. š., ktoré majú dosťatočne odlišnú intenzitu. V našom prípade takýmito boli zložky 206+207_b, 207_c a 208+207_a v štruktúre obyčajného olova. Pri podmienkach, kedy sa prejavuje reabsorpcia, pomér maximálnubových zložiek sa bude meniť. Ak sa reabsorpcia neprejavuje, tento pomér prúdu sú naniesené na obr. 8. Z krivky „a“ vyplýva, že pri výbojových prúdoch menších ako 120 mA a pri vähe analyzovanej vzorky 5 mg PbJ₂ v dutej vähe vzorky zapríčinuje vzrast reabsorpcie (krivka „b“). Tento fakt tiež



Obr. 8. Závislosť reabsorpcie analytickej čary v dutej katóde chladenej vodou od intenzity výbojového prúdu. Na osi ordinát je nanesená hodnota $\alpha = (I_{206+207a}) : (I_{206+207b})$. Krivka „a“ bola získaná pri vähe olova 5 mg, krivka „b“ – pri vähe 50 mg. (Krivky odpovedajú dvom rôznym vzorkám.)

a pri teplote chladiacej vody asi 20 °C optimálna intenzita výbojového prúdu bude asi 100 mA.

V prípade dutej katódy chladenej kvapalným vzduchom podobný výskum priviedol k záveru, že optimálna intenzita výbojového prúdu bude 50 mA



Obr. 9. Závislosť reabsorpcie čary PbI 4058 Å v dutej katóde chladenej kvapalným vzduchom od intenzity výbojového prúdu. Na osi ordinát je nanesená hodnota $\alpha' = (I_{208+207b}) : (I_{208+207a})$. Vähe olova sa rovnala 5 mg.

(obr. 9). Rozne hodnoty optimálnej intenzity prúdu pravdepodobne súvisia s odlišnými rozmermi výbojových trubíc, so zmenou charakteru výboja a možno aj so zmenou hustoty atómov olova pri rôznych teplotách katódy.

V. Pozadie

Intenzita spektra v intervaloch medzi zložkami h. j. š. nebude nulová ani v ideálnom prípade dokonalého rozlíšenia. Zvyšková intenzita alebo pozadie,

svedčí v prospech účelnosti práce so vzorkami, vähy ktorých neprevyšujú 10 mg PbJ₂.
Na základe dosiahnutých výsledkov možno stanoviť, že v prípade práce s výbojovou trubicou, nakreslenou na obr. 2, pri tlaku argónu 0,3 mm Hg

ktoré sa pri meraní intenzít pripočítava k intenzitám čiar, vzniká v dôsledku niekoľkých príčin.

1. Zdroj spektra vyžaruje spolu s čiarovým spektrom aj spektrum spojité, z ktorého monochromátor vydelenie úsek o spektrálnej šírke väčej, ako je spektrálna oblast etalonu, a preto zložka pozadia pochádzajúca zo spojitého spektra zdroja, je prakticky konštantná pre všetky zložky hyperjemnej štruktúry. Pokusne bolo zistené, že relatívny jas tejto časti spojitého spektra sa zväčšuje so zmenšením množstva analyzovanej vzorky. Najvýhodnejšie bolo využívať analýzu pri váheach $2\text{--}5 \text{ mg PbJ}_2$, avšak táto hodnota nepredstavuje nižšiu hranicu vähy vzorky, s ktorou ešte možno robiť analýzu.

2. Ďalším zdrojom pozadia je svetlo rozptýlene v monochromátre. Vhodné rozloženie elón umožnilo zmeniť túto časť pozadia na nepatrnú veľkosť. Kvôli doslednému potlačeniu rozptýleného svetla je však žiaduce použiť dvojity monochromátor, ak, pravda, toto opatrenie nesúvisí s podstatným zmenšením svetelnosti aparátu.

3. Napokon zdrojom pozadia je Fabry-Pérotov etalon. Táto časť pozadia vzniká v dôsledku rozptylu svetla vnútri samotného etalonu a v tlakovej komore, ako aj preto, že minimum interferenčného obrazu, ktorý dáva etalon, má nenulovú intenzitu, ktorá sa určuje koeficientom odrazu zrkadiel. Posledná časť pozadia sa líši od ostatných častí tým, že pri rôznych zložkách h. j. š. spôsobuje nerovnaké skreslenie.

Pri dešifrovaní registrogramov nebolo prakticky možné uskutočniť úplné rozdelenie pozadia na jednotlivé zložky. Pozadie sa preto ocenovalo len priebližne. Predbežný výskum aparátu však umožnil nájsť také pracovné podmienky, pri ktorých pozadie nepresahovalo hodnotu $3\text{--}5\%$ z celkovej intenzitnosti všetkých zložiek h. j. š. čiary $\text{PbI } 4058 \text{ Å}$ a po predbežnom „kalení“ vzorky bolo počas analýzy konštantné.

VI. Záver

Výskum opísanej aparátu pre izotopickú spektrálnu analýzu olova umožňuje zistiť a prípadne odstrániť príčiny, ktoré spôsobujú skreslenie intenzít zložiek h. j. š. analytickej čiary. Rekapitulujúc ziskané výsledky, môžeme ukázať podmienky, pri ktorých tieto príčiny budú alebo odstránené, alebo ich vplyv bude zanedbateľne malý.

1. Aby sme sa vyhli deformáciám obrysu analytickej čiary, ktorú spôsobuje ne-lineárna zmena tlaku medzi plátnami interferometra, musíme registrovať len prvých 5–6 interferenčných rádov, začínajúc z okamziku vputenia vzduchu do tlakovej komory.

2. Štúdium časových zmien jasu výboja a jeho závislosti od množstva analyzovanej vzorky a výskum pozadia ukázalo, že najvhodnejšia väha

jodium olovnateho pre analýzu je $2\text{--}5 \text{ mg}$. Pred analýzou treba vzorku podrobiť „kaleniu“ po dobu $10\text{--}20$ minút.

3. Výskum závislosti intenzity analytickej čiary od tlaku argónu vo výbojovej trubici umožnil určiť optimálny tlak, ktorý sa rovnal $0,3 \text{ mm Hg}$.

4. Pri výskume závislosti reabsorpcie od vähy vzorky a od výbojového prúdu sa zistilo, že v prípade použitia dvej katódy chladenej vodou pre odstránenie reabsorpcie pri vähe PbJ_2 asi 5 mg sa analýza musí robiť pri intenzitách výbojového prúdu asi 100 mA . Pri práci s dvojou katódou chladenou kvapalným vzduchom, pri takom istom množstve vzorky, výbojový prúd nesmie presahovať 50 mA .

LITERATÚRA

- [1] Broida H. P., Moyer I. W.: J. Opt. Soc. Amer. 42 (1952), 37.
- [2] Broida H. P., Morovitz H. J., Seigman M.: J. Res. Natl. Bur. Stand. 52 (1954), 293.
- [3] Вейнберг Г. В., Зайдель А. Н., Петров А. А.: Оптика и спектр. 1 (1956), 972.
- [4] Зайдель А. Н., Петров А. А., Вейнберг Г. В.: Спектрально-изотопный метод определения волююра в металлах, Издат. Ленинград. Гос. Унив. 1957.
- [5] Stukenbrocker G. L., Smith D. D., Werner G. K., Mc Nally J. R.: J. Opt. Soc. Amer. 42 (1952), 383.
- [6] Brody J. K., Fred M., Tomkins F. J.: Spectrochim. Acta 6 (1954), 383.
- [7] Werner G. K., Smith D. D., Ovenshine S. J., Rudolph O. B., Mc Nally J. R.: J. Opt. Soc. Amer. 45 (1955), 202.
- [8] Brody J. K.: J. Opt. Soc. Amer. 42 (1952), 408.
- [9] Стриганов А. Р., Гаврилов Ф. Ф., Еремов С. И.: Атомная энергия 2 (1957), 337.
- [10] Brody J. K., Fred M., Tomkins F. J.: Spectrochim. Acta 8 (1957), 329.
- [11] Стриганов А. Р.: Успехи физ. наук 58 (1956), 365.
- [12] Schieler H., Jones E. G.: Z. Phys. 75 (1932), 563.
- [13] Rose J. L., Sthanathan R. K.: Phys. Rev. 49 (1936), 916.
- [14] Rose J. L., Sthanathan R. K.: Phys. Rev. 50 (1936), 729.
- [15] Ошерович А. Л., Жиглинский А. Г.: Вестник Ленингр. Гос. Универс. № 4 (1956), 3.
- [16] Калитеевский Н. И., Чайко М. П.: Вестник Ленингр. Гос. Универс. № 4 (1956), 9.
- [17] Жиглинский А. Г.: Оптика и спектр. 3 (1957), 9.
- [18] Dufour Ch., Jacquinot P.: J. Rech. CNRS 6 (1948), 91.
- [19] Ошерович А. Л., Павлова Е. П., Родионов С. Ф., Филикова Л. М.: ЖЭТФ 19 (1949), 2.
- [20] Жиглинский А. Г., Зайдель А. Н., Чайко О.: Оптика и спектр. 4 (1958), 152.
- [21] Базовский Э. Ш., Ошерович А. Л., Родионов С. Ф.: Изв. АН СССР серия геофиз. 3 (1952).
- [22] Koerfmann H.: Z. Phys. 75 (1932), 363.
- [23] Schüller H., Jones E. G.: Naturwiss. 10 (1932), 171, Z. Phys. 76 (1932), 14.
- [24] Rose J. L., Granath L. P.: Phys. Rev. 40 (1932), 760.
- [25] Murakawa K., Suwa S.: J. Phys. Soc. Japan 5 (1950), 382.
- [26] Manning T. E., Anderson C. E.: Phys. Rev., 78 (1950), 417.
- [27] Steudel A.: Z. Phys. 133 (1952), 438.
- [28] Турик Ю. И.: Оптика и спектр. 2 (1957), 290.

ИЗОТОПНЫЙ СПЕКТРАЛЬНЫЙ АНАЛИЗ СВИНЦА

ISOTOPIC SPECTRAL ANALYSIS OF LEAD

ЧАСТЬ I

А. Н. ЗАЙДЕЛЬ, А. Г. ЖИГЛINSКИЙ, Ю. ЧАЙКО

PART I

А. Н. ZAJDEL, A. G. ŽIGLINSKI, J. ČAJKO

Выходы

Разработана установка для анализа изотопного состава свинца, выделенного из геологических образцов. Источником света служила разрядная трубка с полым катодом, охлаждаемым водой или жидким воздухом. В качестве прибора высокой разрешающей силы применялся зонд Фабри—Перо с многослойными диэлектрическими покрытиями. Эталон помещался в барокамеру и сканирование линии свинца PbI 4057,8 Å осуществлялось путем изменения давления между пластинами интерферометра. Сверхтонкая структура аналитической линии регистрировалась фотомультипликаторами около 1 000 000.

Использование описанной установки позволяет учесть все причины, приводящие кискажению интенсивностей компонент сверхтонкой структуры (с. т. с.) аналитической линии. Реализируя полученные результаты, можно указать условия, при которых эти причины устранены или их влияние преенебрежимо мало.

1. Для того, чтобы избежать искажения формы контура аналитической линии, вызванного нелинейными изменениями давления между пластинами интерферометра, регистрацию с. т. с. следует вести в пределах первых 5—6 интерференционных порядков, начиная с момента выпуска воздуха в барокамеру.

2. Изучение изменения яркости разряда со временем, ее зависимости от навески анализируемой пробы, а также изучение фона показали, что наиболее выгодно проводить анализ при навесках полистого свинца 2—5 миллиграмм. Перед анализом навеску пробы необходимо повернуть обжигу в течение 10—20 минут.

3. Исследование зависимости интенсивности аналитической линии от давления аргона в полом катоде позволило определить оптимальное давление, равное 0,3 мм Hg.

4. Изучая самопоглощение при различных навесках анализируемой пробы в зависимости от разрядного тока, мы пришли к выводу, что для устранения самопоглощения при невесках PbI₂ ~ 5 мг необходимо работать при разрядных токах около 100 мА в случае полого катода, охлаждаемого проточной водой. При работе с полым катодом, охлаждаемым жидким воздухом разрядные токи не должны превышать 50 мА.

Summary

An apparatus was developed for analysing the isotopic composition of lead separated from geological samples. The light source was a water-cooled or liquid-air-cooled hollow cathode discharge tube. The high-resolution apparatus was a Fabry—Perot dielectric multilayer interferometer which was located in a pressure chamber and the scanning of isotope structure of the lead line PbI 4057,8 Å was realized by varying the pressure between the interferometer plates. The hyperfine structure of the spectral line was recorded by a photo-multiplier cooled by liquid air. The real resolving power of the apparatus was about 1 000 000.

An analysis of the described apparatus enables us to consider all the sources of errors on the intensities of components of hyperfine structure of the spectral line. The data give us the condition at which these sources of errors are either completely removed or their influence is negligibly small.

1. In order to avoid the deformation of the contours of the spectral line resulting from the non-linear changes in the pressure between the interferometer plates, the recording of the hyperfine structure must be limited to the first five or six interference orders, beginning at the moment which the air enters into the pressure chamber.

2. An analysis of the changes of brightness of the light source and its dependence on the quantity of the tested sample and the background intensity showed that the analysis is best carried out with samples of 2—5 mg lead iodide. Before analysing the sample must be annealed 10—20 minutes.

3. A study of the dependence of the intensity of spectral line on the pressure of argon in a hollow cathode discharge tube enabled the determination of the optimum pressure, which was 0,3 mm Hg.

4. By studying the self-absorption for various quantities of the tested sample as a function of the discharge current we came to the conclusion that in order to eliminate the self-absorption for amounts about 5 mg PbI₂ it is necessary to work at discharge currents up to 100 mA in the case of a water-cooled hollow cathode discharge tube and up to 50 mA for a liquid-air-cooled hollow cathode discharge tube.